



О модификации массового состава при ультравысоких энергиях (по данным AUGER Col., с привлечением формализма копулы)

А. Кириллов, И.Кириллов Дубна 2014

Статистический подход с целью **ДОПОЛНИТЬ** возможности эксперимента параметрами функций распределения Введение (наиболее богатая статистика у коллаборации ОЖЕ)

Свободный доступ 1% событий

Событие, погрешности

Разделение на энергетические интервалы (12 интервалов)

Погрешности, Спектр, Хронология, Лодыжка

Пары идентифицирующих функций

Сравнительный анализ полученных распределений

а) **Общий подход**

(Напоминание о функции копула как характеристике внутренних связей)

б) **Исследование внутренних связей**

Эмпирическая и частотные копулы

Сравнение крайних интервалов: копул и популярных мер для средних энергосыделений и расстояний от оси.

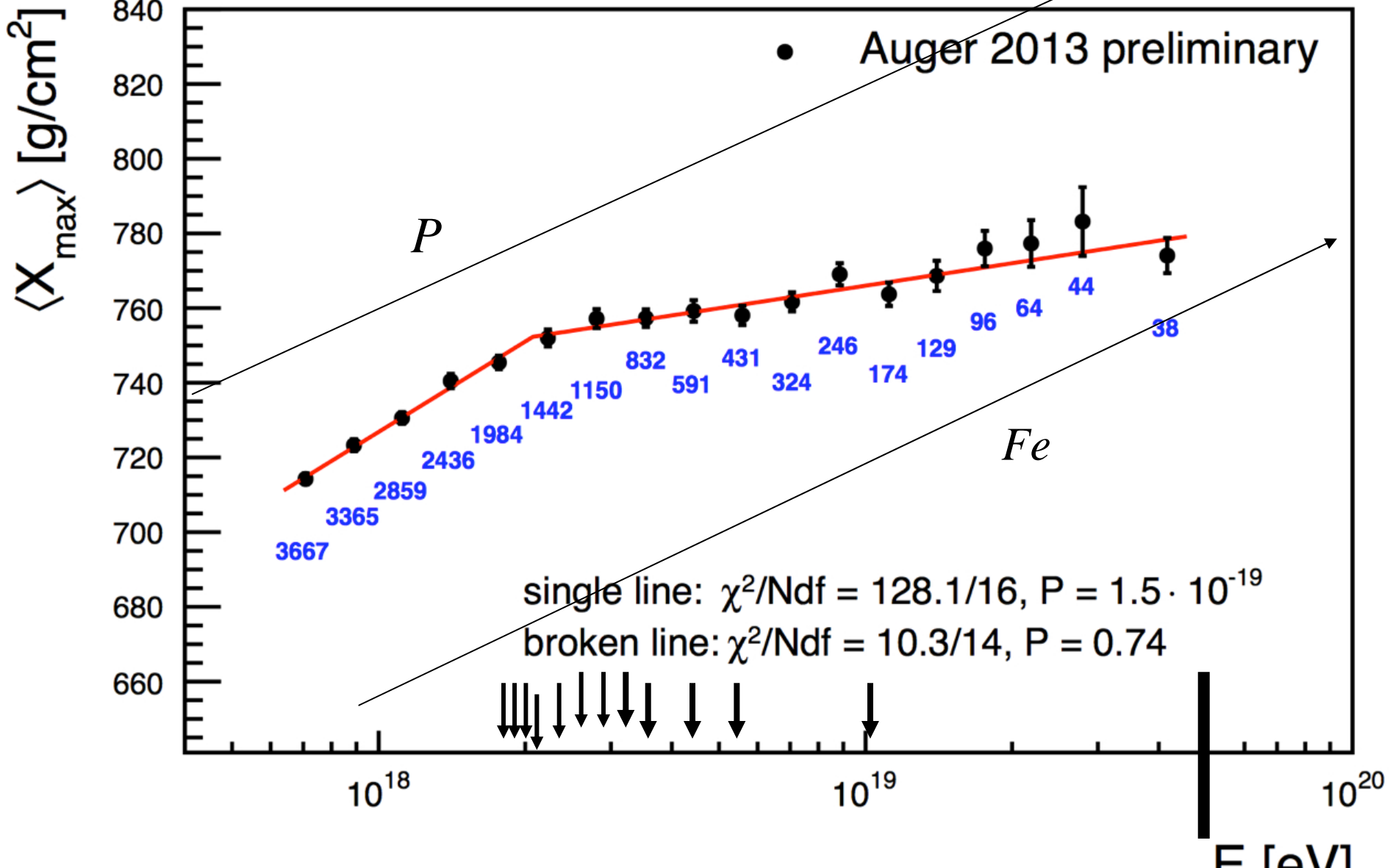
Физическая интерпретация

Заключение

Только качественный уровень

900

ИНТЕРВАЛЫ



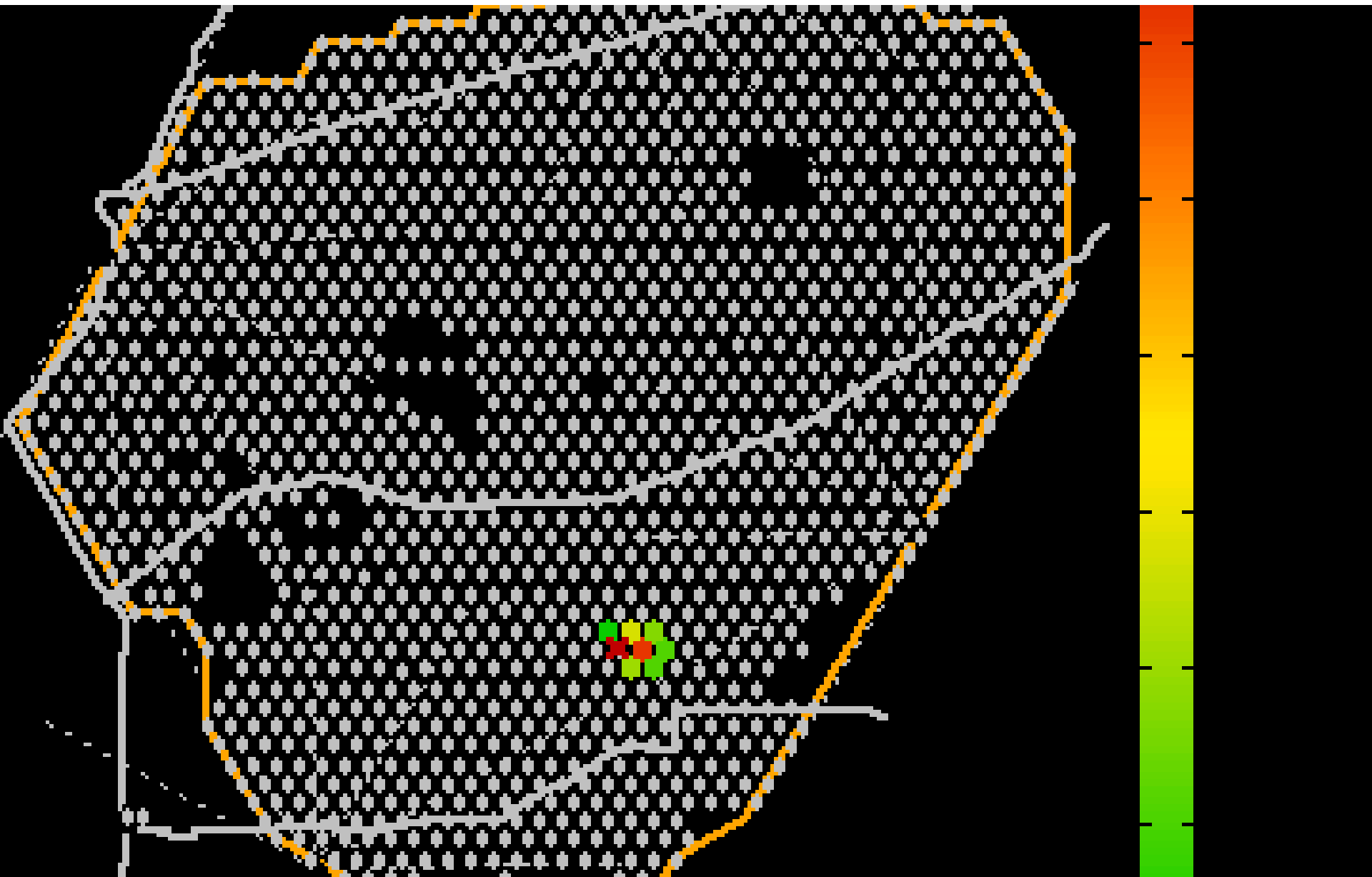
Аргентина

Общий вид

Событие

Исходные данные

Pierre Auger Observatory Public Event Explorer <http://auger.colostate.edu/ED/>

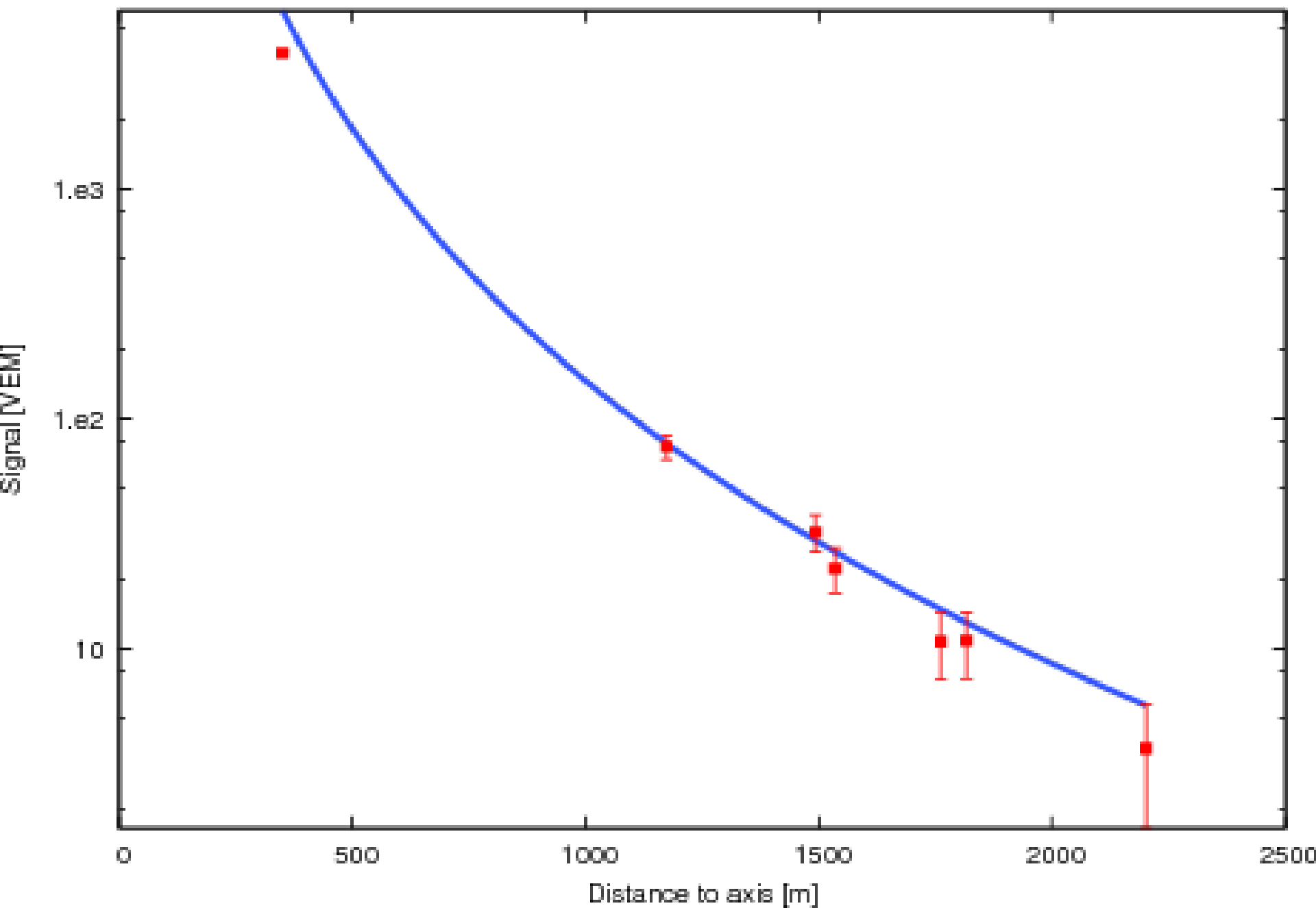


- 08042100: 25.93 EeV, 7 stations, 15.6 deg
- Generic Information
- Id / Date 8042100 / Wed Jul 22 20:27:14 2009
- Nb. of stations 7
- Energy 25.9 ± 2.2 EeV
- Theta 15.6 ± 0.3 deg
- Phi -78.5 ± 1.7 deg
- Curvature 8.3 ± 0.5 km
- Core Easting 480315 ± 29 m
- Core Northing 6086814 ± 33 m

- # Id Signal(VEM) Time(sec) Time(ns) Easting(m)
Northing(m) Altitude(m)
- 263 3927.3 1248294419 795219569 480628.13
6086648.24 1375.45
- 236 76.23 1248294419 795221082 479879.11
6087947.59 1377.94
- 256 32.4 1248294419 795218980 479877.51
6085343.99 1377.36
- 455 22.56 1248294419 795221005 481377.62
6087946.35 1373.93
- 498 10.96 1248294419 795219954 482127.55
6086642.45 1374.22
- 262 10.86 1248294419 795218928 481377.94
6085344.54 1374.39
- 221 3.72 1248294419 795222002 478384.56
6087940.35 1379.98

Событие

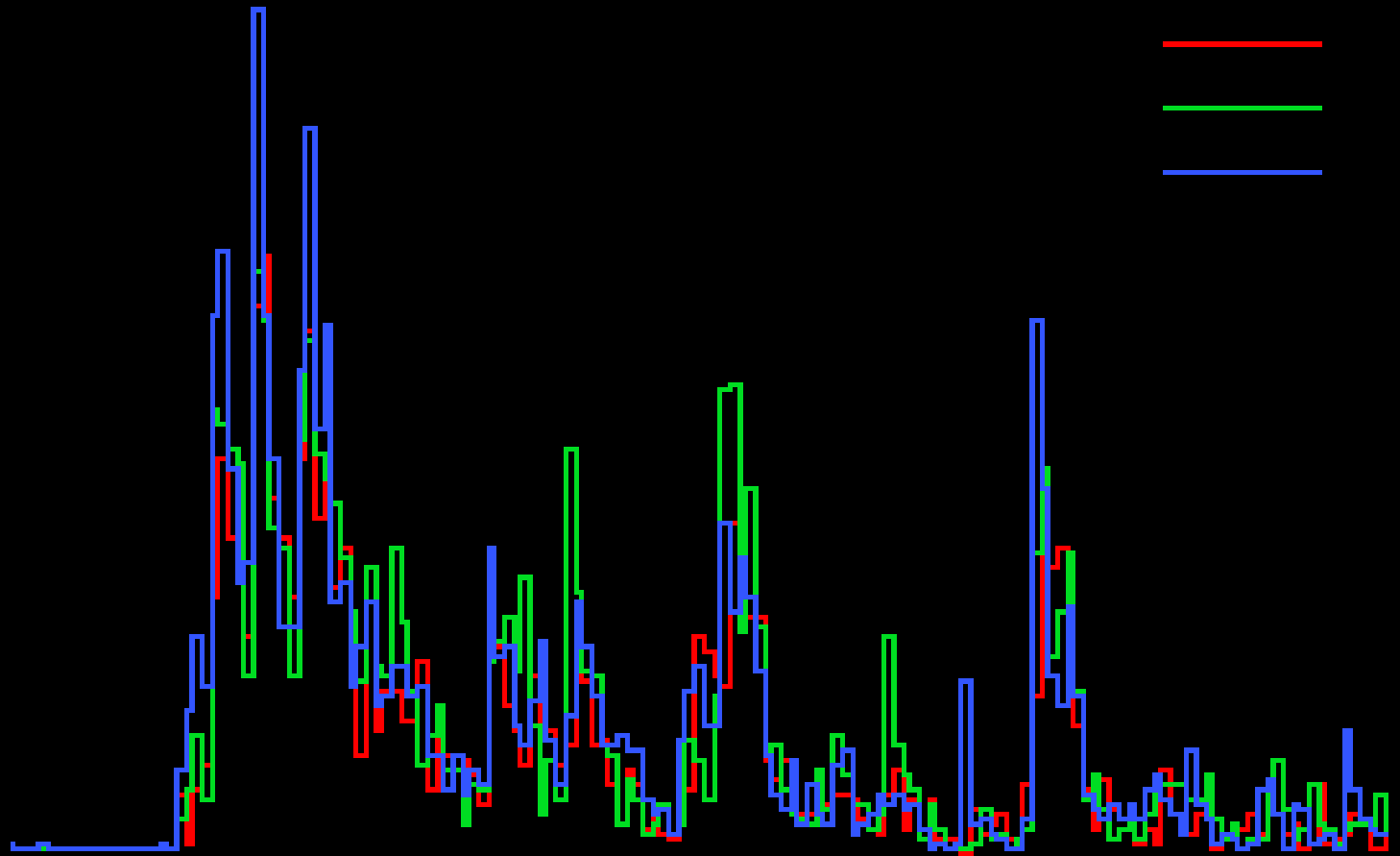
Величины сигналов и пространственные расстояния до оси





Событие

Структура сигнала индивидуальной станции





Рассматриваемые данные содержат $\approx 15\%$ погрешности.

Влияние этих погрешностей на расчёт коэффициента корреляции иллюстрируется следующим рисунком:

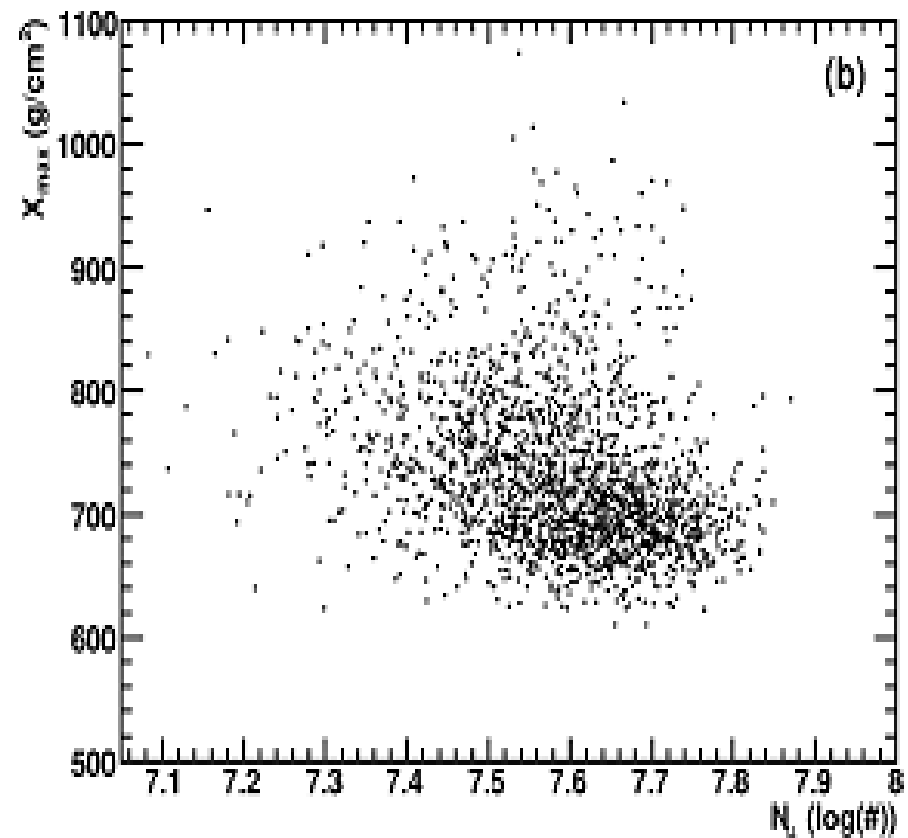
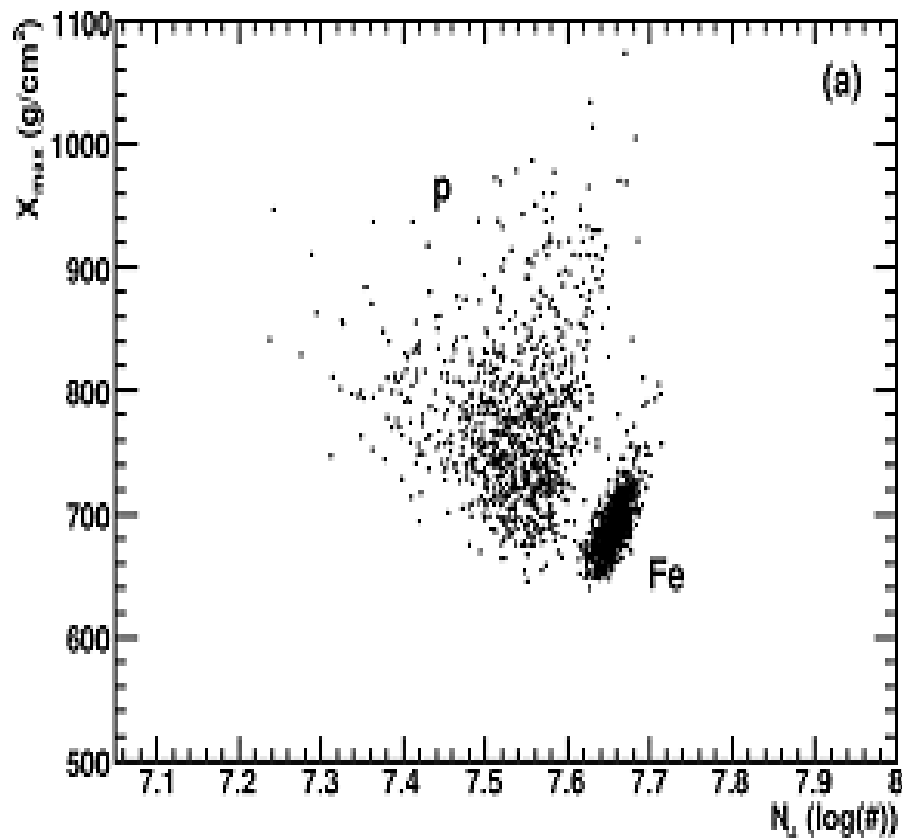
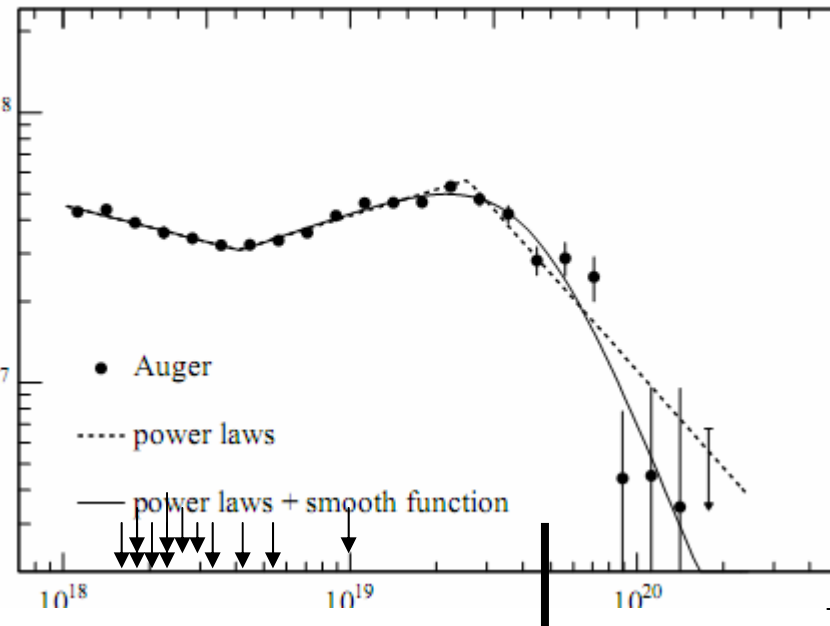
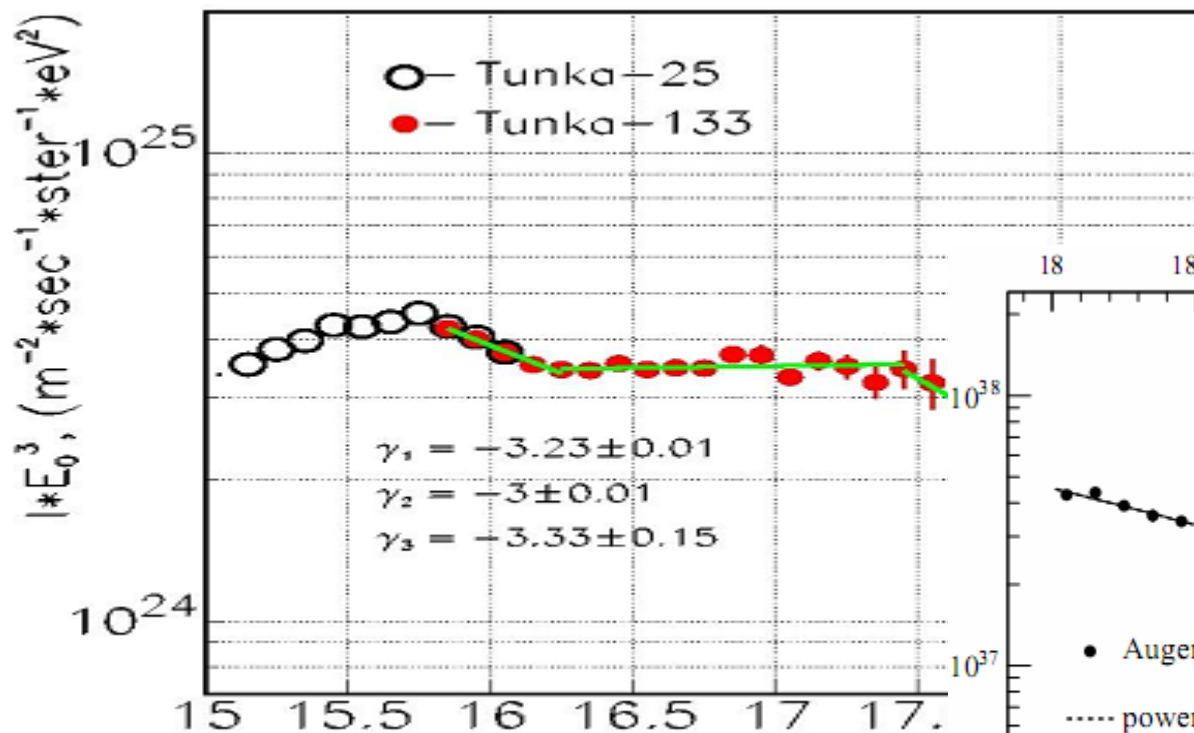


Figure 1: X_{\max} - N_{μ} distribution for proton showers and iron showers with an energy of 10^{19} eV and a zenith angle of 45° . Figure (a) is for an ideal detector (i.e., zero measurement uncertainty). Figure (b) is for a realistic detector.



$6 \cdot 10^{15} < E < 2 \cdot 10^{16}$
 $2 \cdot 10^{16} < E < 3 \cdot 10^{17}$
 $3 \cdot 10^{17} < E < 4 \cdot 10^{18}$
 $4 \cdot 10^{18} < E < 2.56 \cdot 10^{19}$
 $2.56 \cdot 10^{19} < E$

$\gamma \approx 3.23$
 $\gamma \approx 3.0$
 $\gamma \approx 3.33 / 3.27$
 $\gamma \approx 2.68$
 $\gamma \approx 4.2$



О результатах моделирования ОЖЕ (ICRC 2013)

- 1 Результаты оч. много: в терминах X_{\max} , N_u , S_{em} ... при параметрах V_{eM} , зен.уг., r , Fe для различн. моделей взаимодействия, учёт эксперим. погр.
- 2 Коэффициент корреляции используется как цель и инструмент исследований.
- 3 Универсальные св-ва ШАЛ в терминах X_{\max} , N_u , S_{em} .
- 4 Разделение мюонной и электромагнитной компонент.
- 5 Построение пространственного распредел. в терминах E_{VeM} , r , N_u , S_{em}
- 6 Вывод о достаточности описательных возможностей наземных детекторов для установления массового состава.
- 7 Предложено несколько методов а принципе полезных для решения проблемы массового состава.
- 8 К сожалению численные результаты только из анализа X_{\max} и они модельно зависимы.

Эти результаты надо иметь в виду при интерпретации мер связи исследуемых распределений. В частности:

Доля фотонов энергии выше 1, 2, 3, 5, 10 (ЕэВ): 0.4, 0.5, 1.0, 2.6, 8.9 (%)

$$X_{\max} - X_{\max}(\text{мюон}) = 170 \text{ г/см}^2 \quad r_{\max}(\text{Fe}) - r_{\max}(\text{p}) = 100 \text{ м.}$$

Лёгкая компонента – узкие, тяжёлая компонента -- широкие ливни, ливни от тяжёлой компоненты развиваются быстрее.



Heitler model of extensive air showers. In this context Xmax is a linear function of the logarithm of the shower energy per nucleon:

$$\langle X_{\max} \rangle = X_0 + D \log_{10} \left(\frac{E}{E_0 A} \right),$$

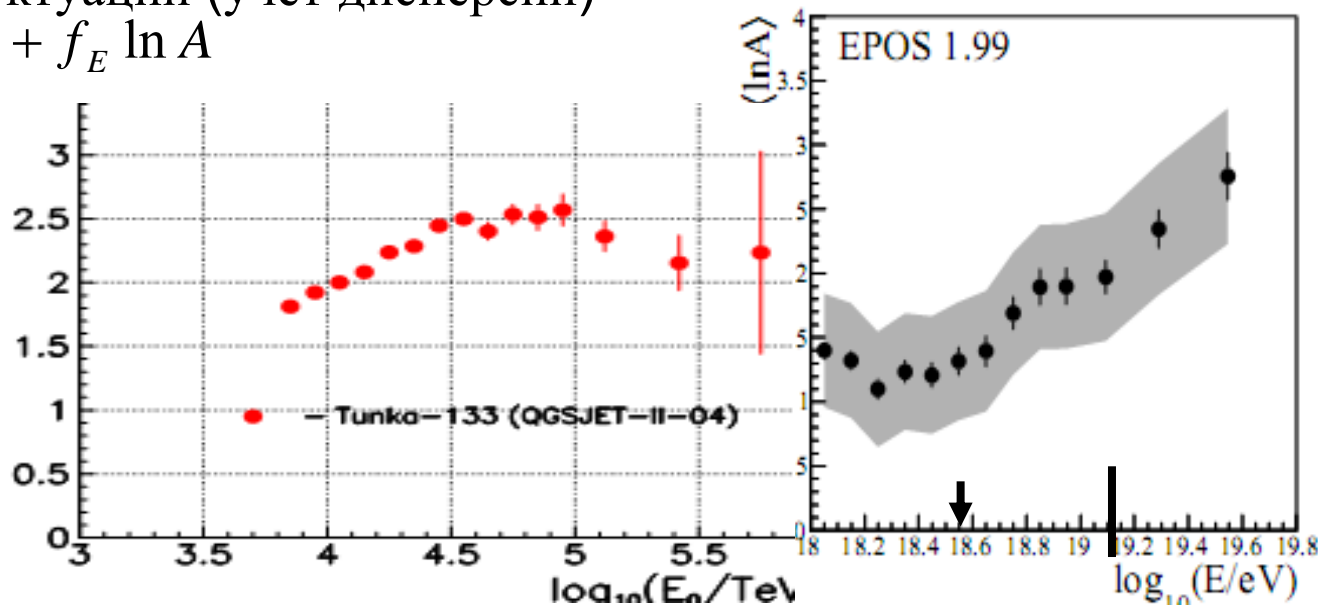
where X₀ is the mean depth of proton showers at energy E₀ and D is the elongation rate, i.e., the change of Xmax per decade of energy.

Простейшая модель флуктуаций (учёт дисперсии)

$$\langle X_{\max} \rangle = \langle X_{\max} \rangle_p + f_E \ln A$$

$$f_E = \xi - \frac{D}{\ln 10} + \delta \log_{10} \left(\frac{E}{E} \right)$$

parameter	EPOS 1.99
X ₀	809.7 ± 0.3
D	62.2 ± 0.5
ξ	0.78 ± 0.24
δ	0.08 ± 0.21



При $E > 10^{18.3}$ эВ $\langle \ln A \rangle$ растёт от лёгких к средним массам, а дисперсия $\ln A$ убывает во всём диапазоне.

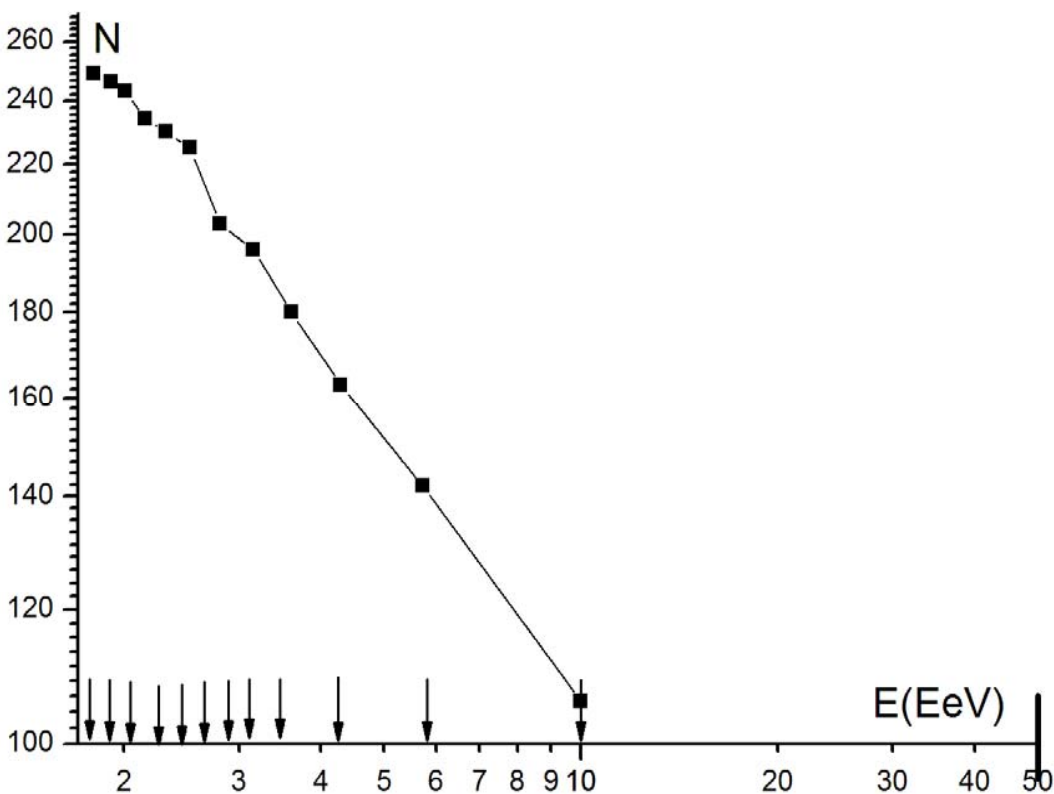
Энергетические интервалы и число ливней в каждом энергетическом интервале

Видно:

Степенной характер убывания.

Излом при 2.7-3.1(ЕэВ)..

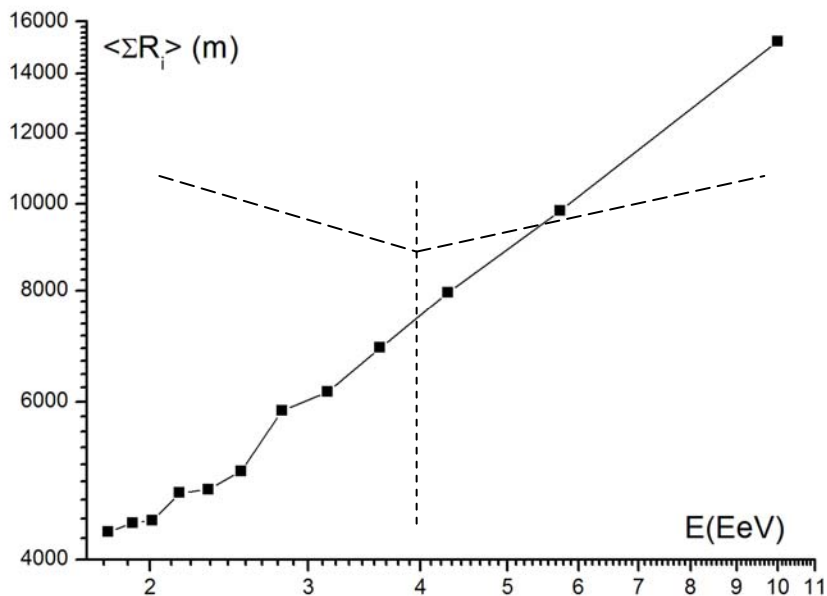
Рост наклона после Излома.



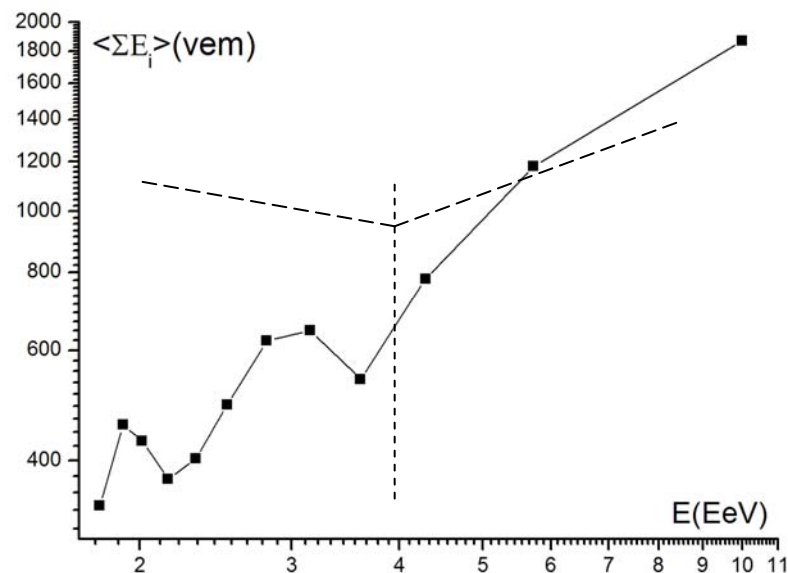
- Стрелки – нижние границы энергетических интервалов.
- Излом – излом спектра и массового состава в области «лодыжки».
- Изменение наклона – утяжеление массового состава.
- Это утяжеление может иметь различные причины: дефицит лёгкой компоненты или обогащение тяжёлой компоненты или утяжеление средней компоненты или различные комбинации этих основных причин



Суммарные характеристики ливня каждого энергетического интервала



Суммарное расстояние датчиков от оси ливня .



Суммарная энергия показаний датчиков

Пунктиром схематически дана лодыжка.



Пары идентифицирующих функций

$$f_x = \frac{1}{n} \sum_{i=1}^n r_i \quad f_y = \lg\left(\frac{1}{n} \sum_{i=1}^n e_i\right)$$

$$f_x = \frac{1}{n} \sum_{i=1}^n r_i \quad f_y = \lg\left(\frac{1}{n} \sum_{i=1}^n e_i \cdot r_i\right)$$

$$f_x = \frac{1}{n} \sum_{i=1}^n r_i \quad f_y = \lg\left(\frac{1}{n} \sum_{i=1}^n \frac{e_i}{r_i}\right)$$

$$f_x = r_{\max} - r_{\min} \quad f_y = \lg(e(r_{\min}) - e(r_{\max}))$$

$$f_x = \frac{r_{\max} - r_{\min}}{\sum_{i=1}^n r_i} \quad f_y = \frac{e(r_{\min}) - e(r_{\max})}{\sum_{i=1}^n e_i}$$

$$f_x = \frac{\sum_{i=1}^n r_i^2}{\sum_{i=1}^n r_i} \quad f_y = \frac{\sum_{i=1}^n e_i^2}{\sum_{i=1}^n e_i}$$

. где: n – количество датчиков, зафиксировавших ливень

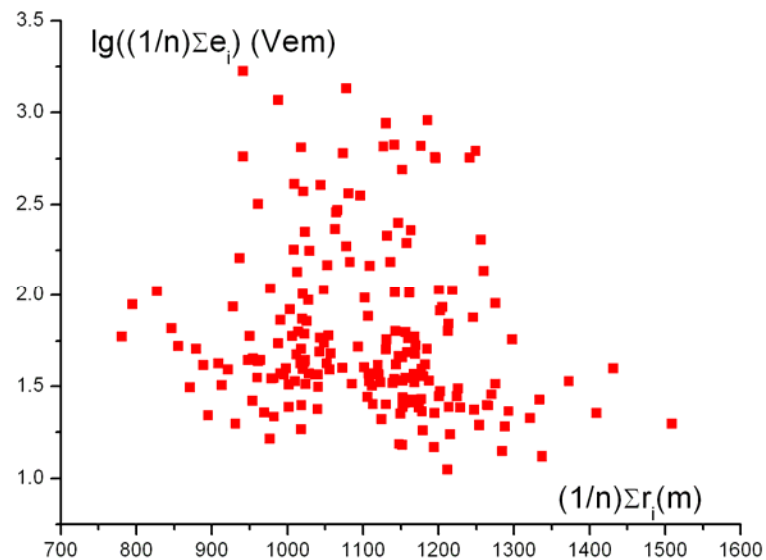
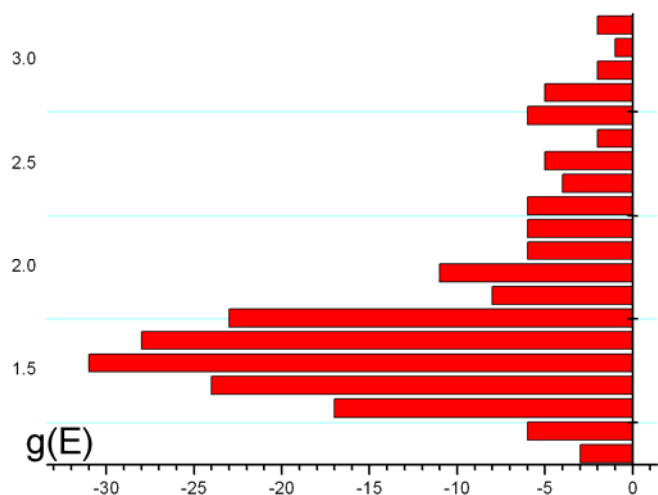
r_i - расстояние i - того датчика до оси ливня (m)

$r_{\min} \setminus r_{\max}$ - расстояние ближайшего к оси \ наиболее удалённого датчика

e_i - энергия, показанная i - тым датчиком (vet)

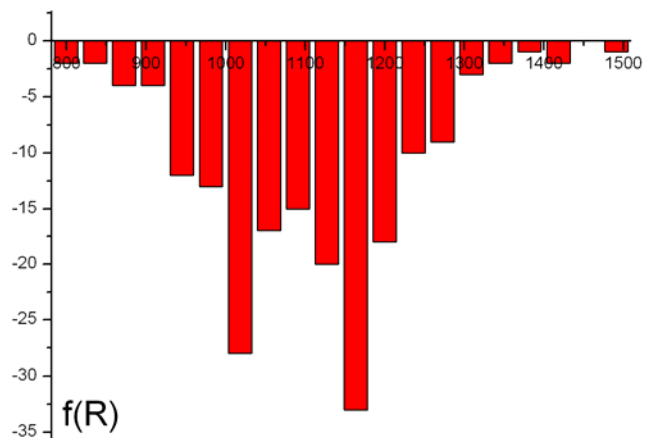
$e(r_{\min}) \setminus e(r_{\max})$ - энергия, показанная ближайшим \ наиболее удалённым датчиком

ДАВАЙТЕ РЕКОМЕНДАЦИИ О ДРУГИХ ФУНКЦИЯХ !!!

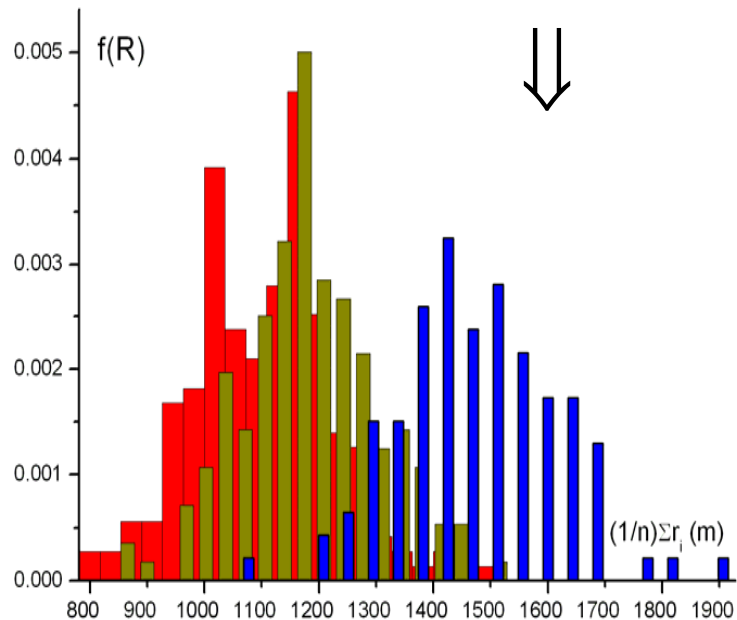
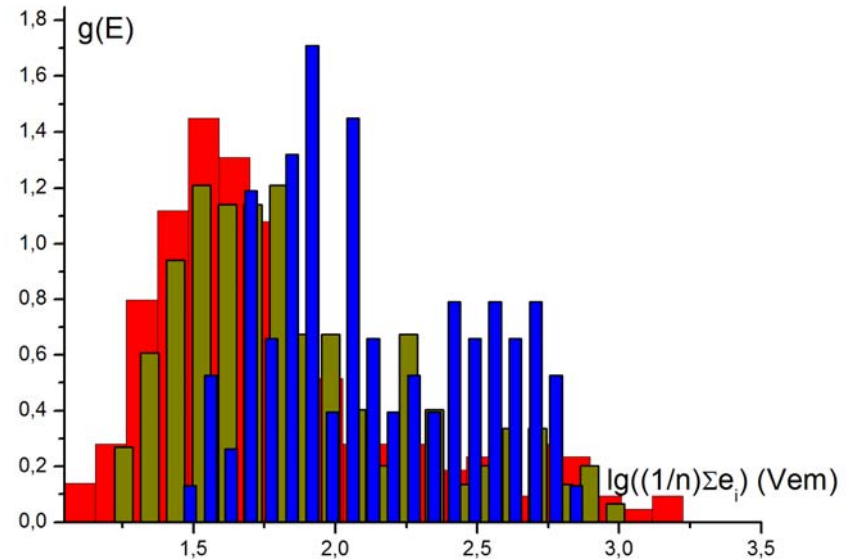
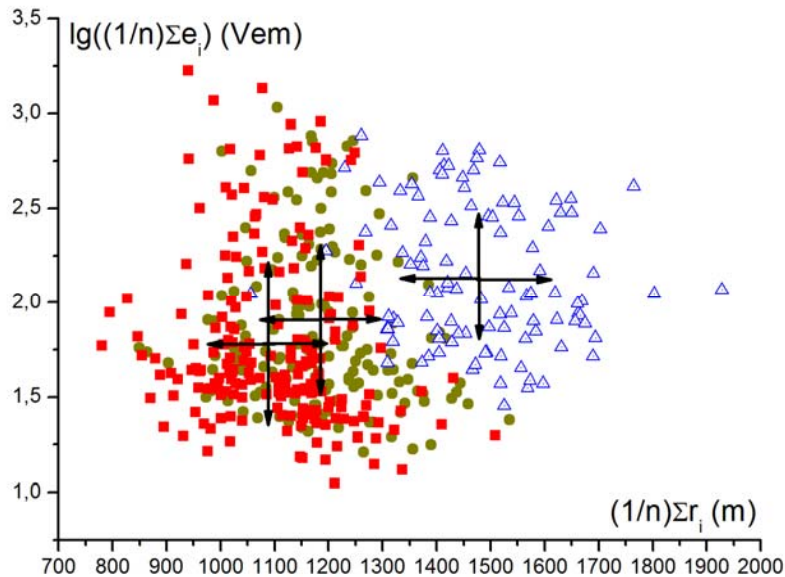


Видны два кластера:
УСЛОВНО

Левый «легкая» компонента
Правый «тяжёлая» компонента
Видно влияние этих кластеров
на форму функций распределения
маргиналов .



Общая картина эволюции при $E > 1 \text{ EeV}$: (3.16 – 3.64; 4.92 – 7.29; 10.0 – 50.0) EэВ



кресты – центры тяжести распределении
с указанием дисперсий
Изменение формы распределений –
следствие изменения массового состава.

увелич. мин. расст. \Rightarrow обеднение лёгк. комп.
Увелич. средн энергии +
уменьш. максим энергии \Rightarrow утяжел. масс сост
Уширен. распределений \Rightarrow утяжел масс.сост

\Downarrow
утяжеление массового состава



Определение копулы (двумерной)

Двумерная копула $C(u,v)$ -- функция $C: I^2 \rightarrow I$ такая, что

$$C(0, t) = C(t, 0) = 0$$

(граничное условие)

$$C(1, t) = C(t, 1) = t$$

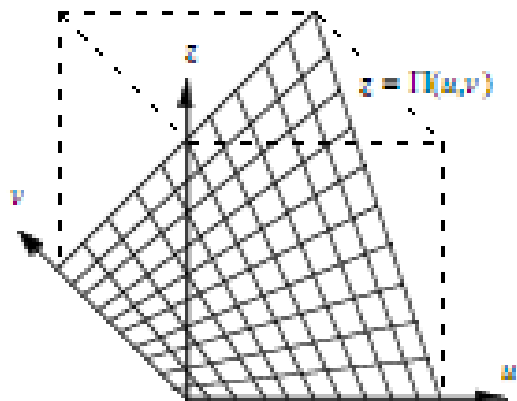
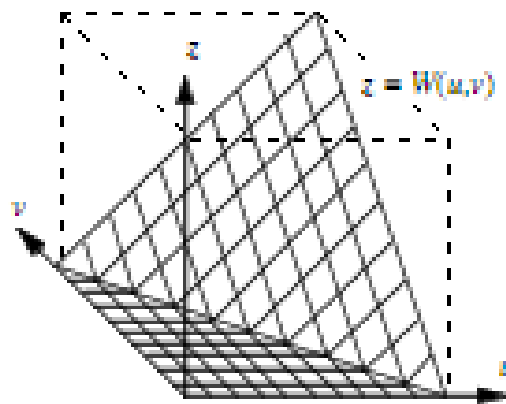
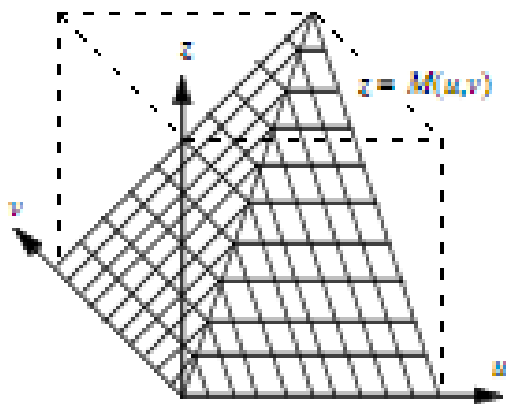
(маргиналы – равномерные)

для всех $t \in I$ и

$$C(u_2, v_2) - C(u_1, v_2) - C(u_2, v_1) + C(u_1, v_1) \geq 0$$

(не убывание)

для всех $u_1, u_2, v_1, v_2 \in I$ и $u_1 \leq u_2$ $v_1 \leq v_2$





Пусть $H(x, y)$ – совместная функция распределения с непрерывными маргиналами $F(x)$ и $G(y)$, то существует копула $C(F(x), G(y))$, такая, что

$$H(x, y) = C(F(x), G(y))$$

Если маргиналы непрерывны, то это представление единственно.

Верно и обратное:

$$C(u, v) = H(F^{-1}(u), G^{-1}(v))$$

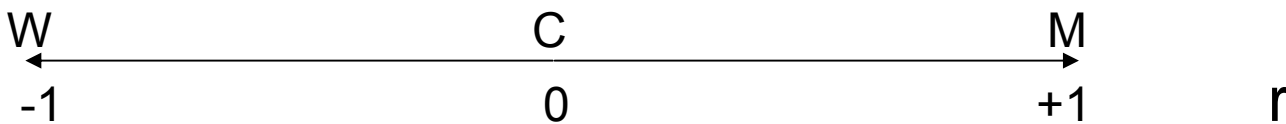
Формула нормального распределения.

$$F(x, y) = \int_{-\infty}^x \int_{-\infty}^y f(s, t) dt ds \quad f(x, y) = \frac{1}{2\pi\sqrt{1-r^2}} \exp\left(-\frac{x^2 - 2rxy + y^2}{2(1-r^2)}\right)$$

Плотности
стандартизованное

$$C(u, v) = N_\rho(\Phi^{-1}(u), \Phi^{-1}(v))$$

$$= \frac{1}{2\pi\sqrt{1-\rho^2}} \int_{-\infty}^{\Phi^{-1}(u)} \int_{-\infty}^{\Phi^{-1}(v)} \exp\left[\frac{-(s^2 - 2\rho st + t^2)}{2(1-\rho^2)}\right] ds dt$$



$$c(u_1, \dots, u_n, \dots, u_N) = \frac{\partial C(u_1, \dots, u_n, \dots, u_N)}{\partial u_1 \dots \partial u_n \dots \partial u_N}$$

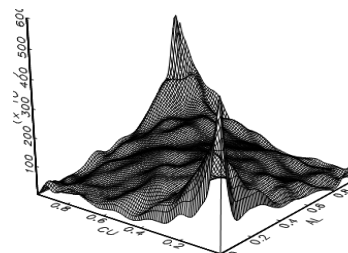
$$H(x, y) = C(F(x), G(y))$$

$$f(x_1, \dots, x_n, \dots, x_N) = c(F_1(x_1), \dots, F_n(x_n), \dots, F_N(x_N)) \prod_{n=1}^N f_n(x_n)$$

Двумерный случай общий,

не независимый

$$\frac{\partial^2 H(x, y)}{\partial x \partial y} = h(x, y) = c(x, y) \cdot f(x)g(y)$$



$\neq 1$



Продуктивность формализма копулы определяется тем, что известны способы измерения копул, т.е. измерение связи частных распределений конкретной многомерной функции сводится к измерениям копулы этой функции.

Известна общая теория построения таких мер и можно строить нужные новые меры, определяемые спецификой задачи.

Мы воспользуемся известными наиболее популярными мерами:
Кендала, Спирмана, Гини.

Определения:

Кендал $\tau = \tau_{X,Y} = P[(X_1 - X_2)(Y_1 - Y_2) > 0] - P[(X_1 - X_2)(Y_1 - Y_2) < 0]$

Здесь векторы (X_1, Y_1) и (X_2, Y_2) – независимые, распределённые по одной и той же совместной функции $H(x, y)$.

Спирман $\rho_{X,Y} = 3(P[(X_1 - X_2)(Y_1 - Y_3) > 0] - P[(X_1 - X_2)(Y_1 - Y_3) < 0])$

Здесь векторы (X_1, Y_1) , (X_2, Y_2) и (X_3, Y_3) – независимые, распределённые по одной и той же совместной функции $H(x, y)$. Заметим, что вектор (X_2, Y_3) получается распределённым по независимой функции $F(x)G(y)$.

Гини $g = 2E(|U + V - 1| - |U - V|),$

где U и V – обратные функции маргиналов $F(x)$ и $G(y)$ распределения $H(x, y)$,
Здесь и далее $E(\dots)$ – математическое ожидание.

Выражения мер через копулу и интерпретация.

$$\tau = 4 \iint_{I^2} C(u, v) dC(u, v) - 1 = 4E(C(u, v)) - 1 = 1 - 4 \iint_{I^2} \frac{\partial}{\partial u} C(u, v) \frac{\partial}{\partial v} C(u, v) dudv$$

$$\rho = 12 \iint_{I^2} uv dC(u, v) - 3 = 12E(uv) - 3 = 12 \iint_{I^2} (C(u, v) - uv) dudv$$

$$\gamma = 4 \left(\int_0^1 C(u, 1-u) du - \int_0^1 (u - C(u, u)) du \right)$$

Использование этих мер аналогично использованию общеупотребительной меры линейной связи случайных векторов – коэффициента корреляции r -- меры Пирсона, интерпретации которой общеизвестны. Приведённые выше меры описывают более сложные связи. Интерпретации их, получаемые аналогично интерпретации меры Пирсона, также более сложны.

Например, из определения видно, что мера **Кендала** может интерпретироваться как вероятность соответствия больших (или меньших) значений одного вектора большим (или меньшим) значениям другого $\{B \Leftrightarrow B\}$ или $\{m \Leftrightarrow m\}$ минус вероятность такого же несоответствия.

.Аналогичная интерпретация меры **Спирмана** более сложна (но в некоторых случаях полезна). Здесь можно обратить внимание на то, что многомерное интегрирование по $dC(u, v)$ есть математическое ожидание. В данном случае математическое ожидание такого обстоятельства, что в иссле-

дуюмом процессе эти (фиксированные) маргиналы будут независимы.

Можно получить и другую интерпретацию этой же меры: на сколько данная копула отличается от независимой копулы. Более точно: каков объём между поверхностями данной копулы и независимой. (Нормировки на отрезок

$[-1, +1]$ в этих интерпретациях – очевидны.)

Мера Гини может пониматься как мера асимметричности копулы.

$$C_n\left(\frac{i}{n}, \frac{j}{n}\right) = \frac{\text{number of pairs } (x, y) \text{ in the sample with } x \leq x_{(i)}, y \leq y_{(j)}}{n}.$$

where $x_{(i)}$ and $y_{(j)}$, $1 \leq i, j \leq n$, denote order statistics from the sample. The empirical copula frequency c_n is given by

$$c_n\left(\frac{i}{n}, \frac{j}{n}\right) = \begin{cases} 1/n, & \text{if } (x_{(i)}, y_{(j)}) \text{ is an element of the sample,} \\ 0, & \text{otherwise.} \end{cases}$$



· Приведём расчетные формулы для выбранных мер.

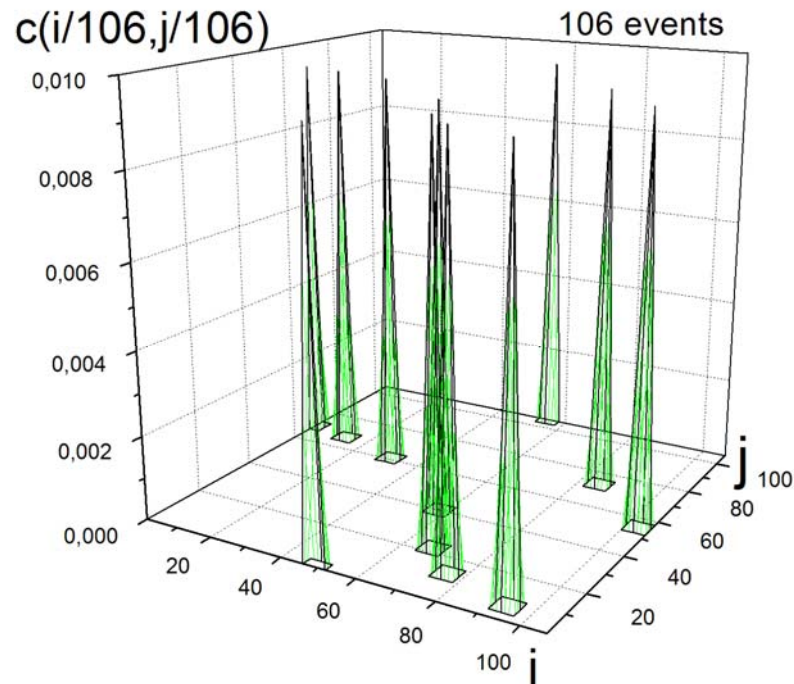
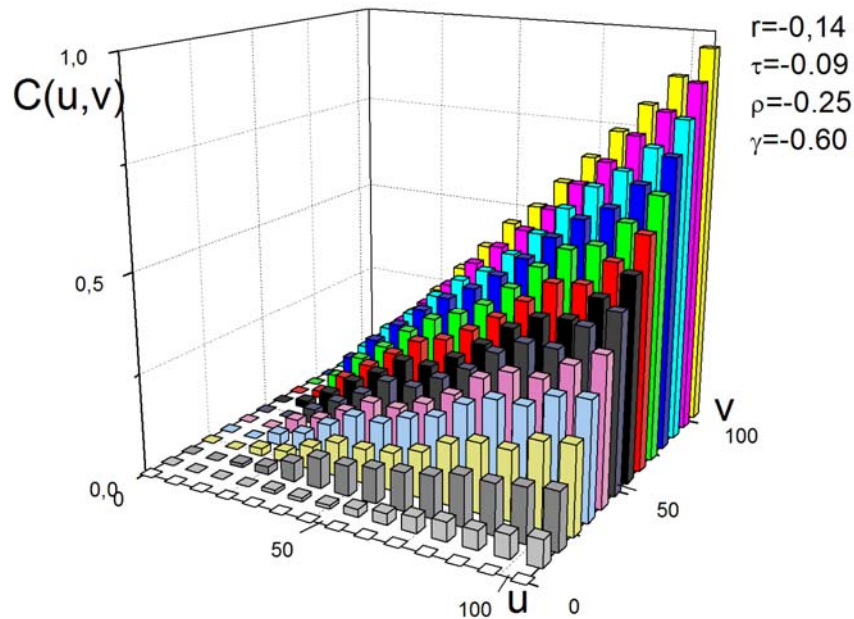
$$\tau = \frac{2n}{n-1} \sum_{i=2}^n \sum_{j=2}^n \sum_{p=1}^{i-1} \sum_{q=1}^{j-1} (c(\frac{i}{n}, \frac{j}{n})c(\frac{p}{n}, \frac{q}{n}) - c(\frac{i}{n}, \frac{q}{n})c(\frac{p}{n}, \frac{j}{n}))$$

$$\rho = \frac{12}{n^2 - 1} \sum_{i=1}^n \sum_{j=1}^n (C(\frac{i}{n}, \frac{j}{n}) - \frac{i}{n} \frac{j}{n})$$

$$\gamma = \frac{2n}{[n^2 / 2]} (\sum_{i=1}^{n-1} C(\frac{i}{n}, 1 - \frac{i}{n}) - \sum_{i=1}^n (\frac{i}{n} - C(\frac{i}{n}, \frac{i}{n})))$$



Копула и частотная копула наиболее энергичного интервала (10-50)ЕэВ



Эмпирическая (слева) и частотная (справа) копулы функции распределения $\langle gi \rangle$ - средних значений расстояний сработавших детекторов и $\lg \langle ei \rangle$ - логарифмов средних зарегистрированных ими энергий от ливней в интервале (10.0 – 50.0) ЕэВ

Из рисунка видно, что рассматриваемая копула несколько ($\rho = -0.25$) ниже четверти седла (независимой копулы), причём в области побочной диагонали ($u + v = 1$) наблюдается некоторое возвышение особенно заметное у концов диагонали. Количественно это подтверждается приведёнными значениями мер. Частотная копула явно показывает обеднение на главной и обогащение на побочной что подтверждается значением ($|\gamma| > 0.5$) меры Гини.

Заключение

- Скромная статистика (1% всех имеющихся у коллаборации ОЖЕ данных, 106 событий в самом высокоэнергичном интервале $(1 - 5) \cdot 10^{19}$ эВ) заставляет ограничиться только качественным уровнем исследования.
- Резких, существенных изменений массового состава имеющиеся данные (с учётом отмеченного выше о недостаточности доступной статистики при $E_0 > 2 \cdot 10^{19}$ (эВ)) в интервале $5 \cdot 10^{18} - 5 \cdot 10^{19}$ (эВ) не показывают, но указывают на утяжеление массового состава. Это утяжеление развивается постепенно с ростом энергии, имеет сложный характер, и происходит в основном за счёт обогащения более тяжёлой компонентой группы средних ядер.



Эксперимент \Rightarrow функция распределения

Функция распределения (или её плотность) \Rightarrow маргиналы,

но маргиналы $\not\Leftarrow$ функция распределения

Для определения функции распределения необходимо знание межкоординатных (структурных, внутренних) связей. (Коэффициент корреляции пример описания линейных внутренних связей.)

Полностью внутренние связи (и только они) описываются копулой – функцией, определяемой исходным распределением.

Функция распределения \Leftrightarrow маргиналы + копула

• **Теорема Склера (маргиналы – непрерывны)**

функция распределения \Leftrightarrow + единственный набор маргиналов
единственная копула

«обратно»

любой набор n одномерных распределений (маргиналов) + любая копула



единственная функция распределения.

Копула – тоже специфическая функция распределения той же размерности, что и исходная, специфика в том, что все её маргиналы – равномерные распределения на $[0, 1]$.